

ПЕРЕМЕННЫЕ ЗВЕЗДЫ

Том 17

2 (128)

1970

СПЕКТРАЛЬНЫЕ НАБЛЮДЕНИЯ ТРЕХ ПЕРЕМЕННЫХ
ЗВЕЗД ТИПА β ЦЕФЕЯ

В. С. Попов

На основе спектрограмм, полученных со средней дисперсией, были изучены на разных фазах кривой блеска спектры трех переменных звезд типа β Сер: γ Peg, β CMa и β Cep. Результаты измерений приведены в табл. 5-8 и показаны на рис. 1-3.

**Spectral Observations of Three β Cephei Type
Variable Stars**

V. S. Popov

Spectra of three stars of β Cep type (γ Peg, β CMa and β Cep) were studied for different phases of the light curve on base of spectrograms obtained with moderate dispersion. Results of measurements are presented in tables 5-8 and shown on fig. 1-3.

Введение

Наблюдение и изучение переменных звезд ранних спектральных классов, в частности типа β Сер, имеет большое космогоническое значение, так как дает нам сведения о пути эволюции звезд; полагают, что эти звезды быстро эволюционируют вправо от главной последовательности с увеличением радиуса и уменьшением плотности.

Переменные звезды типа β Сер представляют собой весьма однородную по спектральным классам (B1-B2) группу, которая характеризуется очень короткими периодами изменения блеска и лучевой скорости (0:15 - 0:25).

Явления, наблюдаемые у этих звезд, во многом сходны с явлениями, наблюдаемыми у цефеид, в частности, типа RR Lyrae. Возможно, что наблюдаемая у них переменность также связана с пульсацией их атмосфер. Для звезд этого типа существуют зависимости период-светимость, период-спектральный класс. Однако эти зависимости не являются продолжением аналогичных зависимостей для цефеид.

Поэтому эти звезды выделены в особый класс и называются по имени звезды, у которой впервые обнаружены подобные явления - "звездами типа β Цефея" (или, как их еще иногда называют, "звездами типа β Большого Пса").

В настоящее время известно около 20 переменных звезд типа β Цефея.

В настоящей работе приводятся результаты спектральных наблюдений трех переменных звезд этого типа: γ Peg (B2 I_u, 2^m.80 - 2^m.86); β CMa (B1 II - III, 1^m.99 - 2^m.02) и β Сер (B2 III, 3^m.32 - 3^m.37).

1. Получение наблюдательного материала.

На 122 см телескопе Крымской астрофизической обсерватории АН СССР в 1960 г. с помощью дифракционного спектрографа АСП-11 (с решеткой - эшеллетом 1200 штрихов/мм) были получены спектрограммы трех переменных звезд типа β Сер: γ Peg-13, β CMa - 21, β Сер - 12.

Данные о наблюдениях приведены в табл. 1, 2, 3, в которых дано: первый столбец - номер пластиинки, второй и третий - дата и время середины экспозиции (по всемирному времени), четвертый - экспозиция, пятый - фотоматериал, шестой - гелиоцентрическая юлианская дата, седьмой - число эпохи и восьмой - фаза максимума блеска или лучевой скорости. Элементы, с которыми вычислены Е и Ф, приводятся ниже.

Спектрограммы получены в первом порядке с линейной дисперсией 36 Å/mm у $H\gamma$.

Для фотографирования были использованы фотопластинки OaO ($\lambda\lambda$ 3700 - 5000 Å) и OaF ($\lambda\lambda$ 5000 - 6600 Å), которые проявлялись в проявителе D 19 в течение 5 минут. Для калибровки фотопластинок было использовано 11 шкалок, полученных со ступенчатым ослабителем.

β CMa * Таблица 1

№ пл.	Дата	Т поз.	матер.	Экс-Фото-		J.D. 0	E	Ф
				2437...	2437...			
4	21/22 X 1960	2 ^h 24 ^m 15 ^s	OaF	229 ^d 602	18574	0.545		
18	23/24 X 1960	3 08	8 OaO	31.633	18582	.627		
47	7/8 XI 1960	23 20	" "	46.475	18641	.687		
48	"	23 40	15 OaF	46.489	"	.743		
49	"	23 54	8 OaO	46.499	"	.783		
50	"	0 06	15 OaF	46.507	"	.815		
51	"	0 51	8 OaO	46.538	"	.938		
53	"	1 22	" "	46.560	18642	.026		
54	"	1 37	" "	46.570	"	.065		

β Сиа

Таблица 1 (продолжение)

№ пл.	Дата	Т	Экс- поз.	Фото- матер.	J.D.ø 2437...	E	Ф
55	7/8 XI 1960	1 ^h 54 ^m 15 ^s	OaF	46.582	18642	0.113	
56	"	2 12 8	OaO	46.595	"	.165	
57	"	2 54	"	46.624	"	.280	
59	"	3 21	"	46.643	"	.356	
60	"	3 35	15	OaF	46.652	"	.392
74	2/3 XII 1960	0 40 15	OaF	71.532	18741	.397	
75	"	0 58 8	OaO	71.544	"	.445	
76	"	1 14 15	OaF	71.555	"	.488	
77	"	1 34 8	OaO	71.569	"	.544	
78	"	1 48	"	71.579	"	.584	
79	"	2 21	"	71.602	"	.675	
81	"	2 53	"	71.624	"	.763	

 β Сер

Таблица 2

№ пл.	Дата	Т	Экс- поз.	Фото- матер.	J.D.ø 2437...	E	Ф
5	23/24 X 1960	16 ^h 50 ^m 23 ^s	OaO	231.203	15677	0.194	
6	"	17 14	"	31.220	"	.283	
7	"	17 37	"	31.236	"	.367	
8	"	18 04	"	31.255	"	.467	
9	"	18 31	"	31.274	"	.566	
10	"	19 14	"	31.303	"	.719	
11	"	19 41	"	31.322	"	.819	
12	"	20 07	"	31.340	"	.913	
13	"	20 34	"	31.359	15678	.013	
14	"	21 04	"	31.380	"	.123	
15	"	21 36	"	31.402	"	.238	
16	"	22 04	"	31.421	"	.339	

 τ Peg

Таблица 3

№ пл.	Дата	Т	Экс- поз.	Фото- матер.	J.D.ø 2437...	E	Ф
2	21/22 X 1960	0 ^h 08 ^m 15 ^s	OaO	229.511	7005	0.891	
34	7/8 XI 1960	16 02	"	46.173	7115	.690	
35	"	16 28	"	46.191	"	.809	
36	"	16 48	"	46.205	"	.901	
37	"	17 08	"	46.219	"	.993	
38	"	17 28	"	46.233	7116	.085	

Таблица 3 (продолжение)

№ пл.	Дата	T	Экс-	Фото-	матер.	2437...	E	F
			поз.	матер.				
39	7/8 XI 1960	17 ^h 46 ^m	15 ^m	OaO	46.245	7116	0.164	
40	"	18 28	"	"	46.274	"	.356	
41	"	18 48	"	"	46.288	"	.448	
42	"	19 08	"	"	46.302	"	.540	
43	"	19 27	"	"	46.315	"	.626	
44	"	19 49	"	"	46.331	"	.731	
45	"	20 08	"	"	46.344	"	.817	

2. Исследование периодов.

Фазы и эпохи, приведенные в табл.1-3, вычислены со следующими элементами:

$$\gamma \text{ Peg.} \quad \text{Max} = J.D. 2436166.371 + 0.1517495 \cdot E.$$

Момент максимума блеска получен 23 ноября 1957 г. Я. И. Кумшишли и Н. Л. Магалашвили [1], период выведен Д. Х. Макнамара [2].

Максимум блеска отстает от максимума лучевой скорости на 0.030. Сводка эпох максимумов лучевой скорости и разности $M_0 - M_c$ приведены в табл.4.

Таблица 4

Дата	Max V_r	Колич. (M_0)	Вычисл. цик- лов	Max V_r	$M_0 - M_c$	Автор
			243...		(M_c)	
1952 10/IX	4266.854	0	4266.854	0.000		Макнамара [3]
1953 17/IX	4638.780	2451	4638.782	- .002		Вильямс [4]
1953 24/XI	4706.631	2898	4706.624	+ .007		Макнамара [5]
1957 23/XI	6166.341	12517	6166.302	+ .039		Кумшишли и др. [1]
1958 25/X	6502.887	14735	6502.883	+ .004		Макнамара [2]
1960 7/XI	7246.171	19633	7246.152	+ .019		Попов

В последней строке таблицы приведена эпоха максимума V_r , полученная нами из наблюдений интенсивности линий.

Полученное Макнамара значение периода, по-видимому, сохраняется.

β СMa. Колебания лучевой скорости у β СMa представляются двумя периодами: $P_1 = 0.25002246$ и $P_2 = 0.2513003$. Период биений 49.1695 [6]. Первый период представляет гармонические колебания лучевой скорости с

амплитудой $K_1 = 5.8$ км/сек и постоянен в течение всего времени, когда велись наблюдения. Второй период представляет периодические изменения в контурах линий. Этот период слегка переменный, что связывается с изменениями в амплитуде K_2 от 4.2 до 2.0 км/сек, а также с непериодическими изменениями в контурах линий.

По-видимому, период P_2 представляет и изменения блеска звезды.

Нами были взяты следующие элементы, которые приводятся О. Струве [6] :

$$\text{Max } V_r = \text{J.D. } 2432561.81 + 0.2513003 \cdot E.$$

Исследование периода P_2 с 1/III-1909 по 17/I-1962 г. сделано Л.А. Милоне, который нашел, что с 1934 по 1962 г. период равен $0.2513001 \pm 3 \cdot 10^{-7}$ [7].

$$\beta \text{ Сер. Max} = \text{J.D. } 2434244.866 + 0.1904891 \cdot E.$$

Период исследовался Б. Смисом [8]. Наиболее же полное исследование было сделано О. Струве, Д.Х. Макнамара, С.М. Кунгом и К. Беймером [9], которые дали следующую эмпирическую формулу для определения периода:

$$P = +0.1904844 + 5.8880 \cdot 10^{-11} E + 9.8013 \cdot 10^{-17} E^2$$

По этой формуле мы вычислили период для двух эпох: 19 авг. 1952 г. и 23 окт. 1960 г. (0.1904885 и 0.1904896).

Для вычисления фаз нами было взято среднее значение периода для этого интервала (0.1904891). Ошибка вычисления фаз получается не более $0^{\circ}1$.

В качестве начальной эпохи был взят последний наблюденный момент максимума блеска, полученный Д. Стеббингсом и Г. Е. Кроном 19 августа 1952 г. [10].

3. Обработка наблюдательного материала.

С негативов со спектрами звезд, размером 9x27 мм, на микрофотометре системы Молля в астрофизической лаборатории ГАО АН СССР были получены при пятидесятикратном увеличении регистрограммы. Для наблюдавшихся звезд был получен линейчатый спектр поглощения. Результаты измерений 228 спектральных линий этих звезд приведены в работе автора [11]. В данной работе в табл. 5, 6 и 7 приводятся эквивалентные ширины W_λ и центральные глубины A_0 сильных спектральных линий водорода и гелия, которые показывают заметные изменения с фазой блеска. Эквивалентные ширины и центральные глубины линии водорода $H\alpha$ в спектре β СМа даны в табл. 8.

Таблица 5

β СМа								
№ пласт.	18	47	49	51	53	54	56	
Фаза	0.627	0.687	0.783	0.938	0.026	0.065	0.165	
Элем., λ	$W_{\lambda} \text{ Å}$	A_{λ}	$W_{\lambda} \text{ Å}$	A_{λ}	$W_{\lambda} \text{ Å}$	A_{λ}	$W_{\lambda} \text{ Å}$	
H	H_{β}	3.10 0.36	2.15 0.37	2.56 0.37	3.63 0.46	4.22 0.45	5.31 0.61	6.50 0.64
	H_{γ}	0.87 0.39	0.41 0.28	1.48 0.28	0.98 0.28	2.50 0.40	4.04 0.54	5.86 0.57
	H_{δ}	1.67 0.28	1.04 0.35	2.60 0.36	1.72 0.28	5.52 0.52	3.28 0.48	4.06 0.53
	H_{ε}	1.40 0.28	1.59 0.33	2.40 0.43	2.78 0.34	3.14 0.41	4.26 0.56	4.56 0.56
	H_{ζ}	1.28 0.25	2.02 0.41	2.10 0.30	2.11 0.31	3.62 0.38	5.98 0.53	4.49 0.53
	H_{η}	1.22 0.24	1.67 0.36	1.92 0.31	2.52 0.42	4.20 0.27	5.78 0.51	5.21 0.47
	H_{η}	- -	1.65 0.36	2.01 0.29	2.00 0.43	3.44 0.22	4.35 0.46	3.59 0.41
	H_{η}	- -	1.02 0.26	1.67 0.26	1.86 0.40	3.36 0.28	4.02 0.44	2.47 0.37
	H_{η}	- -	0.83 0.25	1.14 0.22	1.94 0.40	2.39 0.23	3.85 0.36	1.72 0.35
	H_{η}	- -	1.25 0.28	1.01 0.22	1.38 0.28	2.10 0.22	3.43 0.34	1.17 0.28
	H_{η}	- -	0.85 0.24	0.85 0.18	0.98 0.22	1.97 0.17	2.27 0.32	1.71 0.24
	H_{η}	- -	0.76 0.23	0.44 0.15	0.67 0.16	1.66 0.15	1.67 0.21	1.00 0.18
	H_{η}	- -	0.96 0.26	0.62 0.11	0.38 0.22	1.14 0.12	1.10 0.17	0.77 0.16
	H_{η}	- -	0.59 0.18	0.27 0.09	0.41 0.13	0.28 0.11	0.97 0.13	0.58 0.14
	H_{η}	- -	0.31 0.14	0.10 0.11	0.26 0.09	0.22 0.10	0.61 0.11	0.46 0.11
He I	5016	- -	0.52 0.22	0.84 0.28	0.27 0.18	0.60 0.23	0.88 0.39	0.59 0.35
	4471	0.96 0.36	0.86 0.36	0.88 0.21	0.73 0.23	0.58 0.24	1.46 0.43	1.02 0.45
	4026	0.65 0.25	0.53 0.31	0.92 0.30	0.65 0.25	1.77 0.43	0.93 0.41	1.20 0.35
	3820	- -	0.98 0.29	0.84 0.25	1.07 0.34	0.54 0.24	0.66 0.35	1.36 0.21
	4922	0.62 0.24	1.09 0.20	1.38 0.28	1.10 0.27	0.66 0.27	2.13 0.45	2.25 0.41
	4388	0.63 0.34	0.38 0.21	0.34 0.11	0.61 0.34	0.94 0.31	0.61 0.33	0.67 0.36
	4144	- -	0.41 0.24	0.79 0.26	0.24 0.21	0.79 0.23	1.21 0.37	1.00 0.33
	4009	0.58 0.20	0.28 0.25	0.71 0.24	0.28 0.21	0.90 0.24	0.60 0.27	0.60 0.27
	3927	- -	0.47 0.28	0.50 0.23	0.63 0.24	0.76 0.28	0.98 0.25	0.91 0.30
	3872	- -	- -	- -	- -	- -	0.61 0.23	0.33 0.20
	3806	- -	0.36 0.16	0.22 0.11	0.28 0.14	- -	0.35 0.23	0.53 0.26
	3785	- -	- -	- -	0.22 0.17	- -	0.46 0.31	0.99 0.41
	3756	- -	- -	- -	- -	- -	0.49 0.33	0.54 0.36
	4713	0.57 0.39	- -	- -	- -	- -	0.52 0.21	0.43 0.23
	4121	0.40 0.18	0.36 0.21	0.41 0.17	0.25 0.17	0.67 0.25	0.87 0.31	0.63 0.30
	3867	- -	- -	- -	- -	- -	0.36 0.24	- -
	3965	- -	- -	- -	- -	- -	0.15 0.16	0.26 0.20
	4438	- -	- -	- -	- -	- -	0.21 0.13	0.24 0.16
	4169	- -	- -	- -	- -	- -	0.32 0.17	0.31 0.23
	3936	- -	- -	- -	- -	- -	0.35 0.14	0.29 0.19

β СМа								
№ пласт.	57	59	75	77	78	79	81	
Фаза	0.280	0.356	0.445	0.544	0.584	0.675	0.763	
Элем., λ	$W_{\lambda} \text{ Å}$	A_{λ}	$W_{\lambda} \text{ Å}$	A_{λ}	$W_{\lambda} \text{ Å}$	A_{λ}	$W_{\lambda} \text{ Å}$	
H	H_{β}	5.41 0.45	4.25 0.45	3.41 0.42	3.97 0.43	3.30 0.40	2.09 0.31	3.01 0.45
	H_{γ}	4.20 0.48	0.96 0.32	1.15 0.27	1.08 0.24	0.75 0.27	1.18 0.29	1.55 0.38
	H_{δ}	4.32 0.50	0.85 0.28	- -	2.08 0.46	1.39 0.35	0.81 0.33	3.11 0.42
	H_{ε}	3.40 0.55	1.65 0.44	- -	2.07 0.46	1.96 0.40	0.56 0.23	2.69 0.47
	H_{ζ}	5.10 0.57	1.54 0.40	- -	2.44 0.50	2.46 0.44	- -	2.32 0.31
	H_{η}	5.13 0.53	2.41 0.46	- -	2.12 0.47	2.39 0.45	- -	- -
	H_{η}	2.37 0.46	2.27 0.43	- -	2.20 0.42	2.38 0.40	- -	- -
	H_{η}	3.59 0.46	1.76 0.36	- -	1.75 0.39	1.59 0.37	- -	- -
	H_{η}	2.25 0.37	1.47 0.33	- -	1.89 0.34	1.37 0.33	- -	- -
	H_{η}	2.34 0.34	0.95 0.22	- -	1.11 0.27	1.30 0.23	- -	- -
	H_{η}	2.04 0.26	0.63 0.21	- -	1.14 0.23	0.81 0.21	- -	- -

Таблица 5 (продолжение)

		β СМа													
№ пласт.		57		59		75		77		78		79		81	
Фаза		W _λ Å	A _o	W _λ	A _o										
H	H ₁₅	1.51	0.24	0.82	0.20	-	-	0.75	0.23	0.54	0.22	-	-	-	-
	H ₁₆	1.16	0.13	0.67	0.26	-	-	0.69	0.28	0.79	0.25	-	-	-	-
	H ₁₇	0.66	0.12	0.16	0.14	-	-	0.31	0.18	0.52	0.15	-	-	-	-
	H ₁₈	0.62	0.11	0.10	0.11	-	-	0.19	0.14	0.14	0.09	-	-	-	-
He I	5016	0.51	0.23	0.43	0.21	0.51	0.23	0.49	0.16	0.94	0.25	-	-	-	-
	4471	2.52	0.52	0.41	0.24	-	-	0.58	0.26	1.30	0.31	1.30	0.31	0.93	0.34
	4026	1.19	0.42	0.86	0.29	-	-	0.80	0.33	0.67	0.32	-	-	0.66	0.27
	3820	2.86	0.54	1.12	0.40	-	-	1.03	0.39	2.01	0.34	-	-	-	-
	4922	0.87	0.28	1.10	0.31	0.87	0.28	0.71	0.27	1.38	0.27	0.69	0.18	0.55	0.23
	4388	1.45	0.29	0.40	0.27	-	-	0.40	0.22	0.63	0.25	0.61	0.25	-	-
	4144	0.87	0.27	0.48	0.24	-	-	0.42	0.20	0.40	0.20	-	-	-	-
	4009	0.59	0.24	0.59	0.20	-	-	0.65	0.35	0.25	0.22	-	-	-	-
	3927	0.77	0.29	0.50	0.24	-	-	0.78	0.27	0.57	0.24	-	-	-	-
	3872	0.84	0.38	0.29	0.17	-	-	-	-	-	-	-	-	-	-
	3806	1.03	0.50	0.41	0.24	-	-	0.40	0.21	2.01	0.27	-	-	-	-
	3785	0.85	0.45	-	-	-	-	-	-	-	-	-	-	-	-
	3756	1.20	0.49	-	-	-	-	-	-	-	-	-	-	-	-
	4713	1.06	0.27	-	-	1.27	0.36	-	-	-	-	-	-	-	-
	4121	1.66	0.33	0.26	0.17	-	-	0.69	0.25	0.35	0.16	-	-	-	-
	3867	0.52	0.31	0.17	0.13	-	-	-	-	-	-	-	-	-	-
	3965	0.21	0.16	-	-	-	-	-	-	-	-	-	-	-	-
	4438	0.12	0.10	-	-	-	-	-	-	-	-	-	-	-	-
	4169	0.74	0.20	-	-	-	-	-	-	-	-	-	-	-	-
	3936	0.30	0.18	-	-	-	-	-	-	-	-	-	-	-	-

Таблица 6

		β Сер											
№ пласт.		5		6		7		8		9		10	
Фаза		W _λ Å	A _o	W _λ	A _o								
H	H _β	6.26	0.57	5.72	0.54	5.56	0.59	5.26	0.54	8.98	0.55	7.15	0.59
	H _γ	4.48	0.41	4.94	0.52	4.57	0.49	4.82	0.46	5.98	0.47	5.87	0.53
	H _δ	4.68	0.51	5.20	0.56	4.94	0.47	5.04	0.48	5.47	0.49	4.84	0.50
	H _ε	4.86	0.40	4.18	0.47	5.45	0.54	5.12	0.50	4.24	0.52	5.99	0.53
	H _ξ	4.11	0.34	4.82	0.50	5.49	0.54	4.96	0.54	4.05	0.51	5.21	0.54
	H _η	3.80	0.31	3.86	0.52	4.97	0.52	4.00	0.45	4.21	0.48	3.97	0.47
	H _η	3.78	0.32	2.97	0.46	4.40	0.47	3.45	0.44	3.65	0.45	4.38	0.50
	H _η	3.32	0.37	3.48	0.45	3.64	0.43	2.55	0.45	3.30	0.39	2.81	0.44
	H _η	2.23	0.24	2.39	0.34	3.23	0.38	2.84	0.42	2.72	0.36	2.73	0.38
	H _η	1.84	0.22	1.74	0.32	2.87	0.30	2.16	0.29	2.50	0.30	2.05	0.34
	H _η	1.25	0.23	1.34	0.27	2.63	0.29	2.06	0.27	2.04	0.28	1.84	0.28
	H _η	1.13	0.21	1.19	0.22	1.71	0.30	1.76	0.24	1.86	0.22	1.90	0.29
	H _η	1.04	0.15	1.25	0.21	1.09	0.22	1.13	0.27	1.34	0.20	1.45	0.21
	H _η	0.91	0.11	0.71	0.15	0.95	0.19	1.32	0.16	1.06	0.16	1.00	0.13
	H _η	0.52	0.11	0.32	0.11	0.82	0.12	0.79	0.15	0.43	0.16	0.88	0.10
He I	5016	1.74	0.38	0.82	0.34	1.50	0.39	2.03	0.67	1.19	0.39	1.31	0.36
	4471	1.64	0.33	0.67	0.19	1.70	0.41	1.46	0.30	1.59	0.28	1.67	0.35
	4026	1.73	0.30	1.16	0.38	1.48	0.39	0.67	0.20	1.02	0.34	1.45	0.34
	3820	0.70	0.13	1.38	0.34	1.18	0.31	1.15	0.29	1.67	0.36	1.59	0.32
	4922	1.24	0.23	2.12	0.41	1.03	0.44	2.63	0.41	1.89	0.37	1.43	0.61
	4388	1.52	0.30	1.30	0.33	0.91	0.27	0.71	0.26	0.82	0.25	1.42	0.33

β Сер

Таблица 6 (продолжение)

№ пласт.	5		6		7		8		9		10		
	Фаза	0.194	W _λ Å	A _o	W _λ	A _o							
He I	4144	2.80	0.23	1.03	0.26	1.23	0.25	0.65	0.18	0.72	0.27	1.06	0.23
	4009	1.38	0.20	0.89	0.21	1.15	0.24	0.80	0.23	0.80	0.26	0.83	0.24
	3927	0.82	0.17	0.56	0.16	1.31	0.27	1.02	0.21	0.60	0.22	0.80	0.18
	3872	0.31	0.13	0.34	0.18	0.35	0.16	0.32	0.16	-	-	0.38	0.14
	3806	-	-	0.70	0.22	0.34	0.17	0.48	0.21	-	-	-	-
	3785	-	-	0.26	0.14	0.20	0.16	0.12	0.09	-	-	0.39	0.17
	3756	-	-	0.48	0.14	0.19	0.16	0.21	0.18	-	-	0.17	0.10
	4713	-	-	0.51	0.27	0.55	0.29	0.24	0.16	-	-	0.72	0.20
	4121	1.26	0.28	1.10	0.29	-	-	0.61	0.18	-	-	0.64	0.23
	3867	0.39	0.15	0.44	0.23	0.38	0.18	0.26	0.19	-	-	0.32	0.14
	3965	-	-	0.23	0.15	0.21	0.12	0.10	0.09	-	-	0.17	0.11
	4438	0.51	0.19	0.29	0.20	0.56	0.13	0.38	0.14	-	-	0.26	0.14
	4169	-	-	0.88	0.19	-	-	0.45	0.11	-	-	0.61	0.12
	3936	-	-	0.28	0.15	-	-	0.25	0.13	-	-	0.30	0.14

 β Сер

№ пласт.	11		12		13		14		15		16		
	Фаза	0.819	W _λ Å	A _o	W _λ	A _o							
H	H _β	6.81	0.56	8.62	0.66	8.38	0.55	8.62	0.56	5.72	0.50	5.52	0.59
	H _γ	6.20	0.51	8.67	0.52	8.99	0.40	5.54	0.38	5.37	0.48	5.48	0.46
	H _δ	5.48	0.49	6.56	0.54	5.92	0.44	5.48	0.38	5.01	0.47	4.79	0.49
	H _ε	4.75	0.47	5.11	0.50	5.33	0.38	4.73	0.39	-	-	-	-
	H _ξ	3.93	0.50	4.94	0.50	4.52	0.37	3.57	0.34	-	-	-	-
	H ₉	3.56	0.46	3.97	0.48	3.95	0.38	3.79	0.35	-	-	-	-
	H ₁₀	3.30	0.48	2.74	0.47	3.96	0.31	3.05	0.30	-	-	-	-
	H ₁₁	3.14	0.42	3.19	0.42	3.89	0.32	1.80	0.24	-	-	-	-
	H ₁₂	2.33	0.35	2.56	0.36	2.20	0.29	2.40	0.26	-	-	-	-
	H ₁₃	1.38	0.28	2.27	0.36	1.06	0.16	0.98	0.18	-	-	-	-
	H ₁₄	1.32	0.22	1.74	0.25	1.01	0.25	1.03	0.18	-	-	-	-
	H ₁₅	0.97	0.21	1.06	0.25	0.90	0.19	0.78	0.11	-	-	-	-
	H ₁₆	1.07	0.17	0.94	0.15	0.87	0.07	1.19	0.15	-	-	-	-
	H ₁₇	0.92	0.11	0.43	0.13	0.53	0.09	0.78	0.13	-	-	-	-
	H ₁₈	0.71	0.08	0.27	0.12	0.34	0.09	0.39	0.11	-	-	-	-
He I	5016	0.86	0.38	0.84	0.36	0.98	0.30	1.21	0.33	-	-	-	-
	4471	1.62	0.30	1.25	0.33	1.38	0.23	1.57	0.28	1.57	0.28	1.62	0.30
	4026	1.71	0.38	1.70	0.42	1.49	0.22	1.94	0.23	1.16	0.22	-	-
	3820	1.88	0.38	1.41	0.29	1.04	0.17	1.11	0.19	-	-	-	-
	4922	2.28	0.39	1.67	0.34	2.16	0.37	2.04	0.27	1.41	0.29	1.03	0.44
	4388	0.93	0.33	1.09	0.34	1.24	0.23	1.13	0.31	1.13	0.31	0.28	0.20
	4144	0.86	0.28	1.04	0.22	1.07	0.15	1.04	0.22	1.04	0.22	0.86	0.23
	4009	1.24	0.27	0.98	0.21	0.85	0.14	0.87	0.17	-	-	-	-
	3927	0.42	0.11	0.87	0.20	0.66	0.16	0.78	0.19	-	-	-	-
	3872	0.42	0.25	0.15	0.11	-	-	-	-	-	-	-	-
	3806	0.91	0.23	0.20	0.13	-	-	-	-	-	-	-	-
	3785	0.37	0.16	0.30	0.13	-	-	-	-	-	-	-	-
	3756	0.41	0.17	0.14	0.11	-	-	-	-	-	-	-	-
	4713	0.55	0.23	0.47	0.22	0.46	0.17	1.14	0.28	-	-	0.53	0.22
	4121	0.97	0.26	0.85	0.28	-	-	-	-	0.44	0.21	1.42	0.31
	3867	0.41	0.27	0.62	0.18	0.70	0.24	-	-	1.41	0.27	-	-

Таблица 6 (окончание)

 β Сер

№ пласт.	11		12		13		14		15		16	
	Фаза	0.819	W _λ Å	A _o	W _λ	A _o						
Элем., λ												
He I 3965	0.16	0.08	0.20	0.14	-	-	-	-	-	-	0.25	0.16
4438	0.53	0.20	-	-	-	-	-	-	-	-	-	-
4169	-	-	-	-	-	-	-	-	-	-	-	-
3936	0.19	0.13	0.80	0.23	-	-	-	-	-	-	-	-

Таблица 7

 γ Peg

№ пласт.	2		34		35		36		37		38		39	
	Фаза	0.891	W _λ Å	A _o	W _λ	A _o								
Элем., λ														
H H _β	5.57	0.61	5.29	0.48	5.39	0.55	5.54	0.55	4.80	0.50	3.24	0.49	3.49	0.44
H _γ	4.94	0.57	2.96	0.43	4.01	0.41	2.22	0.36	1.56	0.39	1.84	0.43	1.01	0.31
H _δ	4.41	0.57	2.77	0.59	2.72	0.50	2.70	0.42	2.38	0.42	0.78	0.18	1.20	0.24
H _ε	4.55	0.52	2.98	0.52	2.94	0.28	3.01	0.47	3.20	0.46	1.86	0.39	2.04	0.33
H _ζ	4.70	0.49	3.17	0.46	3.26	0.33	3.63	0.53	3.02	0.50	2.82	0.46	1.87	0.37
H _η	5.31	0.45	2.91	0.43	2.80	0.36	2.94	0.48	3.30	0.46	2.96	0.47	2.38	0.42
H _{ιο}	3.95	0.42	2.87	0.44	2.75	0.52	2.68	0.49	2.95	0.44	2.48	0.42	2.74	0.42
H _{ιι}	3.63	0.40	2.70	0.44	2.58	0.44	2.72	0.45	2.44	0.39	2.89	0.44	2.03	0.38
H _{ιιι}	3.19	0.38	2.38	0.38	0.86	0.35	1.96	0.36	1.98	0.31	2.12	0.36	2.03	0.38
H _{ιιιι}	1.91	0.32	1.45	0.26	1.25	0.24	1.32	0.29	1.58	0.30	1.27	0.25	1.41	0.30
H _{ιιιιι}	1.45	0.28	1.38	0.25	0.86	0.21	0.90	0.22	0.84	0.19	0.80	0.19	1.16	0.22
H _{ιιιιιι}	1.34	0.18	1.24	0.20	0.74	0.18	1.02	0.18	0.98	0.18	0.78	0.17	0.40	0.20
H _{ιιιιιιι}	1.69	0.18	1.04	0.23	0.68	0.23	0.74	0.28	0.77	0.23	0.53	0.16	0.32	0.16
H _{ιιιιιιιι}	0.84	0.23	0.62	0.18	0.37	0.13	0.51	0.16	0.39	0.11	0.24	0.18	0.18	0.16
H _{ιιιιιιιιι}	0.40	0.23	0.50	0.13	-	-	-	-	-	-	0.34	0.14	-	-
HeI 5016	1.20	0.31	-	-	0.65	0.18	0.70	0.22	0.64	0.28	0.50	0.29	0.32	0.28
4471	1.86	0.43	1.86	0.38	0.78	0.23	0.94	0.21	1.24	0.31	0.73	0.32	0.60	0.24
4026	1.92	0.48	1.81	0.38	1.06	0.35	0.80	0.30	1.55	0.36	1.35	0.32	0.80	0.22
3820	1.89	0.59	0.91	0.30	0.60	0.27	0.20	0.40	1.50	0.36	1.26	0.35	0.78	0.29
4922	1.74	0.46	1.54	0.27	2.16	0.37	1.86	0.32	1.80	0.32	0.87	0.30	1.25	0.31
4388	1.32	0.34	0.74	0.22	0.64	0.26	0.54	0.22	0.95	0.28	0.74	0.30	0.26	0.14
4144	1.07	0.26	0.74	0.30	0.80	0.25	0.85	0.28	1.18	0.26	0.62	0.19	0.50	0.22
4009	1.12	0.31	1.27	0.28	0.70	0.24	0.87	0.31	1.20	0.23	0.78	0.24	0.68	0.21
3927	0.53	0.24	0.80	0.25	-	-	-	-	-	-	-	-	-	-
3872	0.37	0.21	-	-	-	-	-	-	-	-	-	-	-	-
3806	0.21	0.16	-	-	-	-	-	-	-	-	-	-	-	-
3785	0.25	0.13	-	-	-	-	-	-	-	-	-	-	-	-
4713	0.39	0.19	0.79	0.24	0.50	0.28	-	-	-	-	0.80	0.23	-	-
4121	0.26	0.14	0.84	0.32	-	-	-	-	-	-	-	-	-	-
3867	0.41	0.24	0.54	0.36	-	-	-	-	-	-	-	-	-	-
3965	0.20	0.15	1.07	0.29	-	-	-	-	-	-	0.66	0.22	0.37	0.20
4438	0.22	0.12	-	-	-	-	-	-	-	-	-	-	-	-
3835	0.26	0.13	-	-	-	-	-	-	-	-	-	-	-	-
3889	0.38	0.23	-	-	-	-	-	-	-	-	-	-	-	-
4169	0.14	0.10	0.50	0.30	-	-	-	-	-	-	-	-	-	-

Таблица 7 (продолжение)

№ пласт.	40		41		42		43		44		45		
Фаза	0.356		0.448		0.540		0.626		0.731		0.817		
Элемент, λ	$W_\lambda \text{ Å}$	A_o	W_λ	A_o									
H	H_β	3.81	0.53	3.99	0.50	2.78	0.46	4.18	0.46	4.72	0.41	5.00	0.40
	H_γ	3.44	0.38	3.14	0.36	2.52	0.30	3.01	0.25	2.82	0.34	4.51	0.31
	H_δ	3.03	0.35	2.20	0.39	3.46	0.42	1.64	0.32	2.52	0.35	4.78	0.37
	H_ε	2.98	0.24	2.14	0.40	1.50	0.28	2.06	0.34	2.68	0.36	-	-
	H_ζ	3.17	0.26	2.86	0.43	1.76	0.30	3.60	0.40	2.92	0.40	-	-
	H_9	2.91	0.28	2.26	0.44	1.98	0.30	3.39	0.43	2.74	0.40	-	-
	H_{10}	2.87	0.28	2.43	0.46	1.89	0.30	3.96	0.44	3.47	0.39	-	-
	H_{11}	2.70	0.24	2.75	0.47	1.74	0.30	2.81	0.39	2.55	0.35	-	-
	H_{12}	2.38	0.18	1.69	0.36	1.78	0.30	2.30	0.30	1.74	0.31	-	-
	H_{13}	1.78	0.15	1.51	0.26	1.16	0.18	1.98	0.20	1.46	0.26	-	-
	H_{14}	1.24	0.14	1.33	0.19	0.84	0.17	1.76	0.15	1.08	0.18	-	-
	H_{15}	1.04	0.14	1.28	0.17	0.87	0.20	1.24	0.18	0.50	0.12	-	-
	H_{16}	0.72	0.10	0.89	0.26	0.69	0.19	0.62	0.14	0.42	0.17	-	-
	H_{17}	0.49	0.12	0.53	0.18	0.34	0.20	0.41	0.14	0.29	0.18	-	-
	H_{18}	-	-	-	-	-	-	-	-	-	-	-	-
He I	5016	0.98	0.30	0.81	0.28	0.94	0.28	0.31	0.20	0.44	0.14	-	-
	4471	1.26	0.20	0.59	0.28	0.70	0.25	0.40	0.16	0.84	0.25	-	-
	4026	1.30	0.35	1.02	0.34	0.90	0.30	0.80	0.22	0.80	0.26	-	-
	3820	1.26	0.37	0.97	0.36	0.60	0.17	1.19	0.37	1.24	0.28	-	-
	4922	1.58	0.38	1.22	0.30	1.19	0.29	1.27	0.28	1.30	0.23	0.48	0.16
	4388	0.98	0.24	0.82	0.25	0.54	0.21	0.24	0.16	0.57	0.20	-	-
	4144	0.67	0.23	0.72	0.27	1.10	0.25	0.36	0.13	0.72	0.20	-	-
	4009	0.87	0.22	0.60	0.26	0.98	0.23	0.60	0.19	0.46	0.16	-	-
	3927	-	-	0.30	0.22	-	-	-	-	-	-	-	-
	3872	-	-	-	-	-	-	-	-	-	-	-	-
	3806	-	-	-	-	-	-	-	-	-	-	-	-
	3785	-	-	-	-	-	-	-	-	-	-	-	-
	4713	-	-	-	-	-	-	-	-	-	-	-	-
	4121	-	-	-	-	-	-	-	-	-	-	-	-
	3867	-	-	-	-	-	-	-	-	-	-	-	-
	3965	-	-	-	-	0.64	0.24	-	-	-	-	-	-
	4438	-	-	-	-	-	-	-	-	-	-	-	-
	3835	-	-	-	-	-	-	-	-	-	-	-	-
	3889	-	-	-	-	-	-	-	-	-	-	-	-
	4169	-	-	-	-	-	-	-	-	-	-	-	-

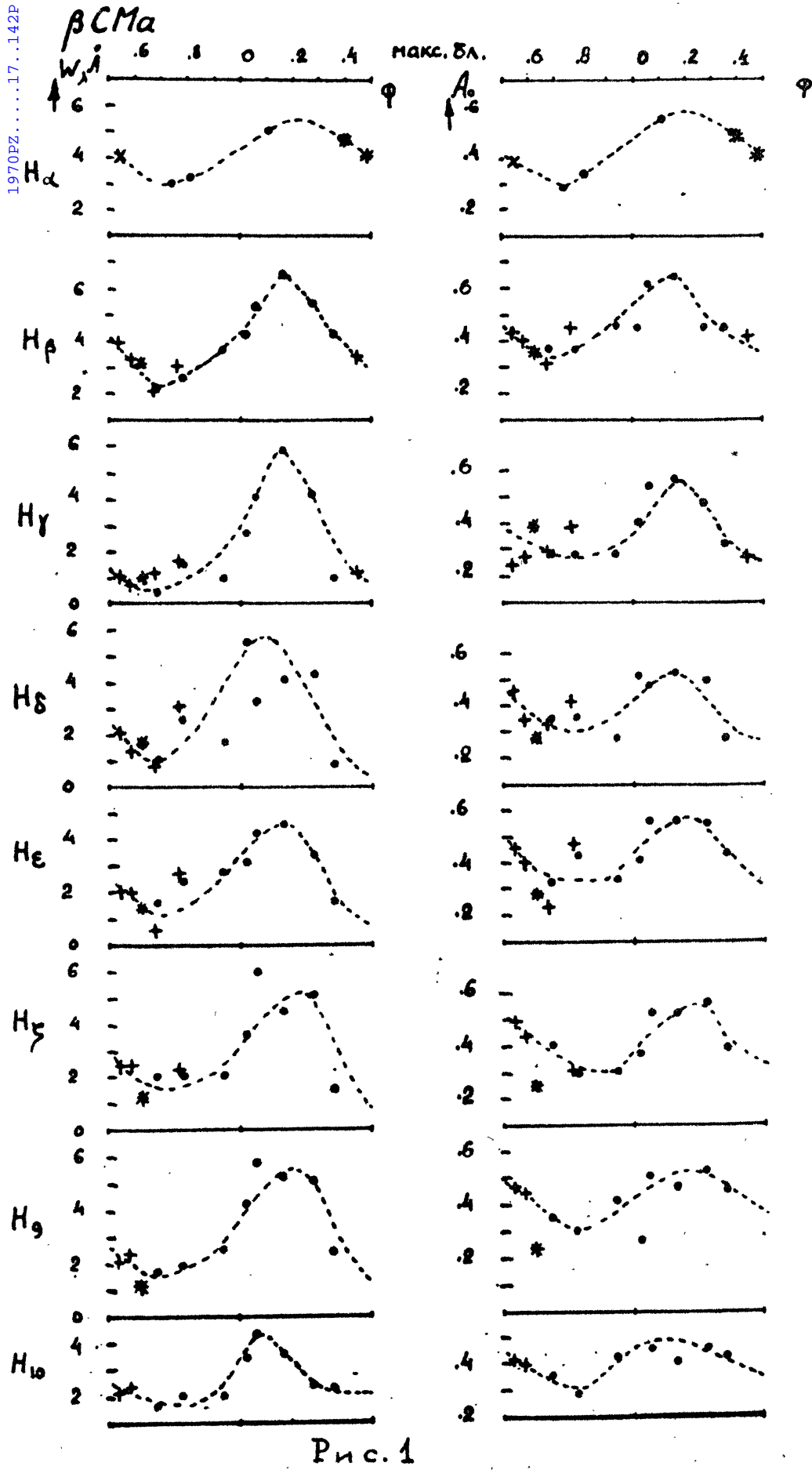


Рис. 1

Таблица 8
№ пласт. Фаза V_r $W_{\lambda} \text{ \AA}$ σ A_{\odot}

4	0.545	4.04	0.39
48	0.743	2.97	0.29
50	0.815	3.24	0.34
55	0.113	5.01	0.55
60	0.392	4.73	0.50
74	0.397	4.74	0.49
76	0.488	4.15	0.42

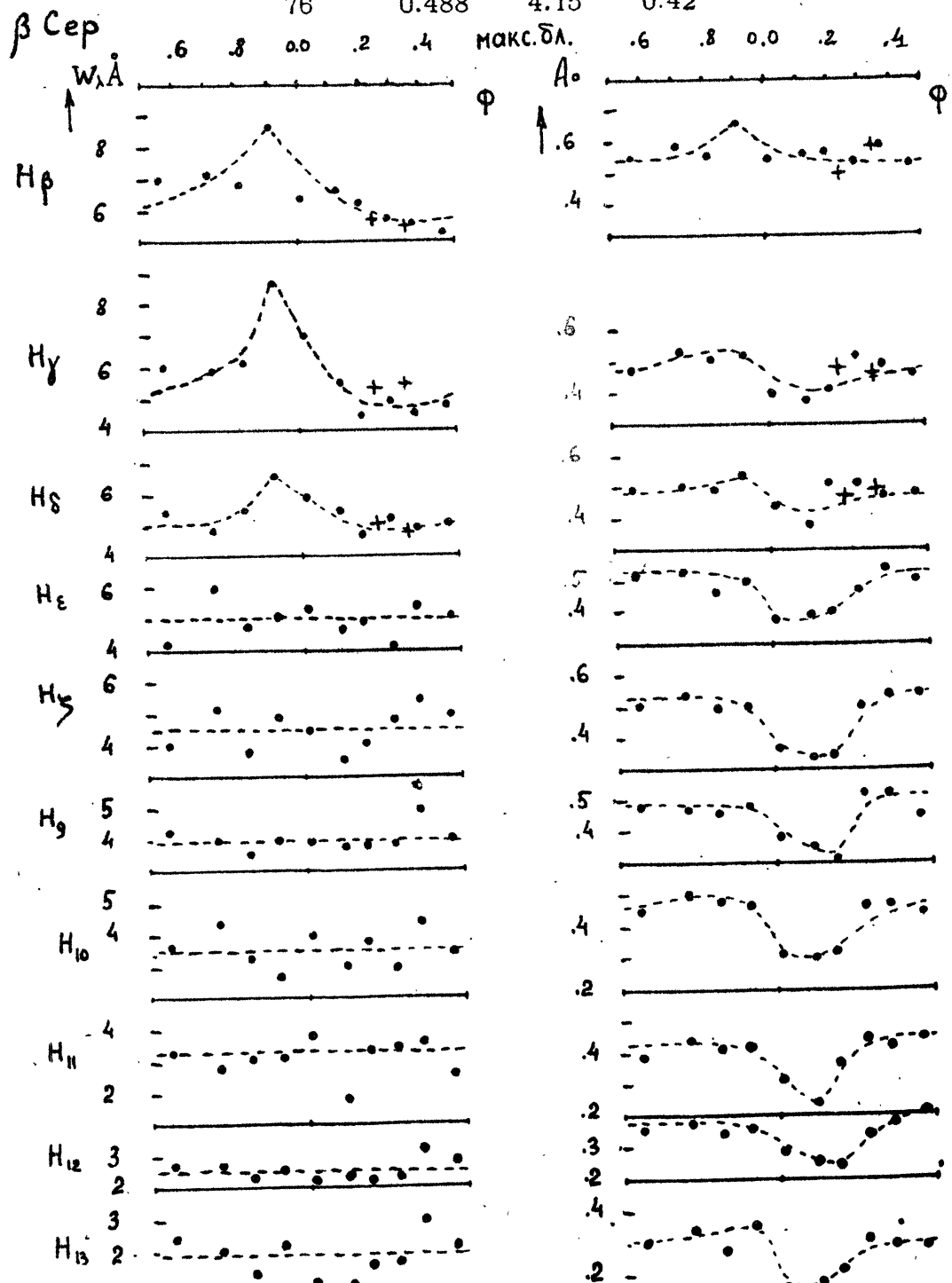
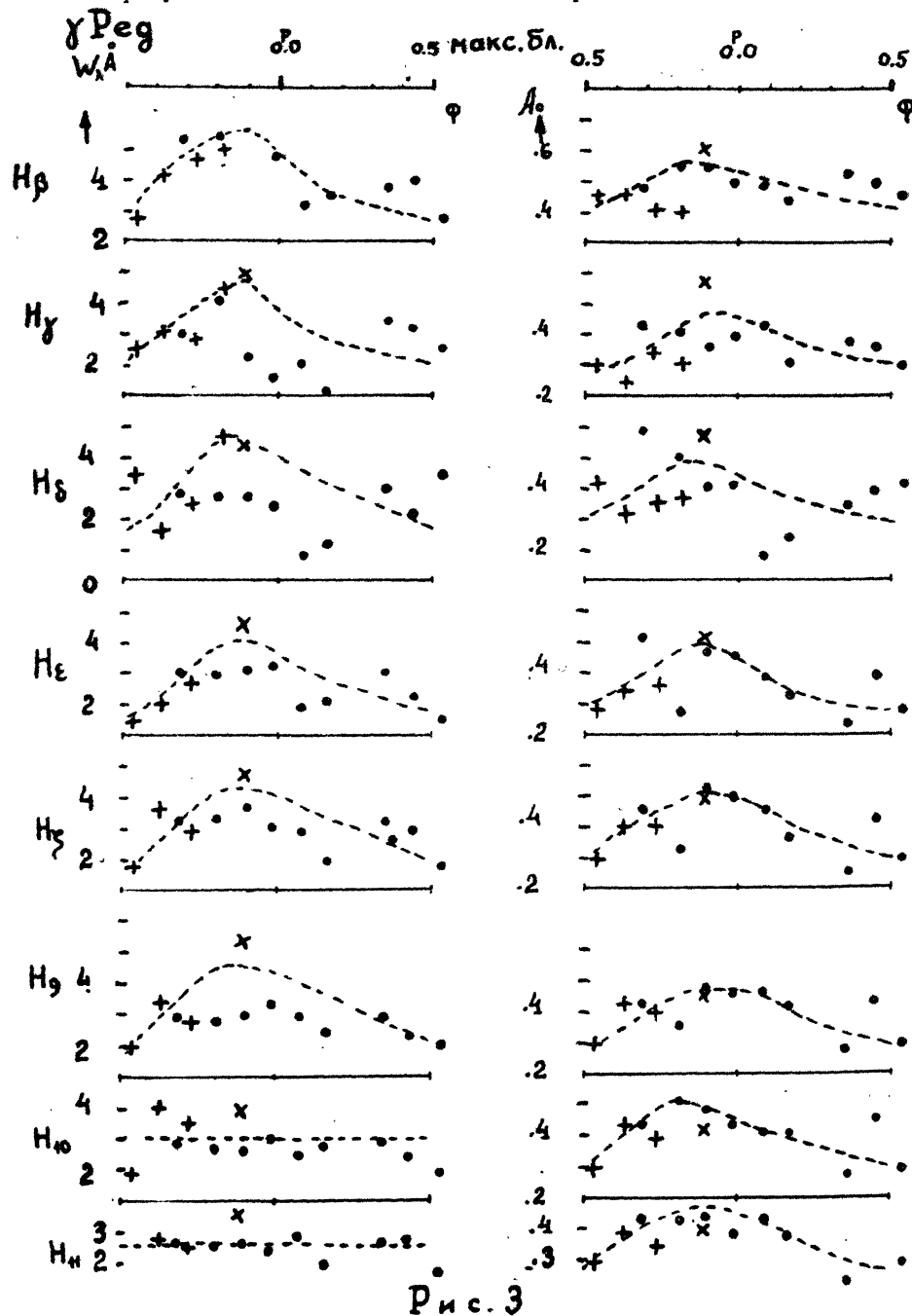


Рис. 2

Зависимости эквивалентных ширин и центральных глубин от фазы изменений блеска или лучевой скорости (для β СMa) приведены на рисунках 1-3. Обозначения на рисунках: + - перекрывающиеся наблюдения из одной серии; x , * - из других серий.

Слабые линии изменений с фазой блеска не показывают. Определение эквивалентных ширин линий проводилось обычным способом. Относительная ошибка в среднем составляет 5%, она возрастает при уменьшении эквивалентной ширины линии.



4. Обсуждение полученных результатов.

β СMa. В максимуме блеска (фаза по V_r , $0^{\text{h}} 165$) водородные линии становятся более широкими, эквивалентные ширины и центральные глубины увеличиваются, в минимуме — наоборот. По-видимому, в фазе минимума блеска на линию поглощения H_{α} накладывается эмиссия, так как уровень изменений эквивалентной ширины H_{α} небольшой, по сравнению с другими водородными линиями. Это явление еще пока никем не отмечалось. На периодическое же изменение ширин спектральных линий у β СMa указывал еще в 1918 г. Ф. Аирото [12], который писал, что линии то становятся узкими, то расширяются и расплываются, причем эти изменения происходят с периодом, почти равным периоду изменения лучевой скорости, а именно $0^{\text{d}} 25130$. Позднее спектр β СMa подробно изучал О.Струве [6] и др. На спектрограммах с низкой дисперсией изменения водородных линий были отмечены И.Д.Купо [13].

β Сер. Впервые об изменении бальмеровских линий водорода в спектре β Сер упоминается в работе Б. Смиса [8]. В 1948 г. Г. Р. Мичайка на основе 10 спектрограмм, полученных с дисперсией 51 \AA/mm у H_{γ} , нашел слабые изменения линий H_{γ} и H_{δ} с фазой блеска [14]. На изменение линий H_{α} , H_{β} и H_{γ} указывали в 1955 г. Р. Вильсон, Е.А. Бекер и В.М. Гривс [15]. Однако у них было всего 7 спектрограмм этой звезды, полученных в разные годы с 1938 по 1947. В дальнейшем эти наблюдения продолжили Р. Вильсон и Х. Седон [16], они также подтвердили изменение линий у β Сер (хотя и с большим периодом): в частности, ими была обнаружена эмиссия у нормальных линий поглощения H_{α} , которую заподозрил еще в 1933 г. Б.Г. Карпов [17]. Наблюдения эмиссии H_{α} в спектре β Сер в течение нескольких циклов были сделаны в 1963 г. Г. Оджерсом [18]. Наши наблюдения также подтверждают изменения водородных линий H_{β} , H_{γ} и H_{δ} с фазой блеска, хотя и не очень большие. До максимума блеска (фаза $0^{\text{h}} 913$) эквивалентные ширины линий увеличиваются, затем довольно быстро уменьшаются. На это указывал также и Б. Смис [8]. Центральные глубины всех водородных линий у фазы максимума блеска показывают заметное увеличение, а затем резкое уменьшение (минимум у фазы $0^{\text{h}} 15$).

γ Peg. Наши наблюдения показывают изменения эквивалентных ширин водородных линий (вплоть до H_{δ}) с фазой блеска. Максимум W_{λ} наблюдается на фазе $0^{\text{h}} 900$. Значения эквивалентных ширин к максимуму блеска плавно увеличиваются, а затем наблюдается резкий спад (особенно это заметно у линий H_{β} , H_{γ} и H_{δ}). Центральные поглощени^и всех водородных линий также показывают заметные изменения с фазой блеска (максимум у фазы $0^{\text{h}} 900$).

Спектр γ Peg исследовался неоднократно. Особенно подробно он изучен в работе Л.Х. Аллера и Д.Джураку [19]. Изменения линий ими не найдены: это, по-видимому, произошло потому, что они использовали спектры, полученные с очень большими экспозициями (от 30 до 110 минут), т.е. охватывающие очень большие части периода. Поэтому многие явления не выявились, они усреднились.

Литература

1. Н.Л. Магалашвили, Я.И. Кумсишвили, ПЗ 13, 37, 1960.
2. D.H. McNamara, PASP 72, 508, 1961.
3. D.H. McNamara, ApJ 122, 95, 1955.
4. V.D. Williams, PASP 66, 25, 1954.
5. D.H. McNamara, PASP 68, 158, 1956.
6. O. Struve, ApJ 112, 520, 1950.
7. L.A. Milone, Bol. del Inst. de Mat., Astr. y Fis., 2, 27, 1964.
8. B. Smith, ApJ 98, 82, 1943.
9. O. Struve, D.H. McNamara, S.M. Kung, C. Beymer, ApJ 118, 39, 1953.
10. J. Stebbins, G.F. Kron, ApJ 120, 189, 1954.
11. В.С. Попов, Пулк. ИЗВ № 180, 116, 1966.
12. F. Neigrotaeu, Lick Bull 9, 155, 1918.
13. И.Д. Купо, АЖ 42, 358, 1965.
14. G.R. Miczaika, AN 277, 31, 1949.
15. R. Wilson, E.A. Baker, W.M.H. Greaves, Edinb. Publ., 1, № 6, 1955.
16. R. Wilson, H. Seddon, Observatory 76, 145, 1956.
17. B.G. Karpov, Lick Bull 16, 159, 1933.
18. G. Odgers, Quart. JRAS 4, 241, 1963.
19. L.H. Aller, J. Jugaku, ApJ 127, 125, 1958.

ГАО АН СССР

Пулково, май 1968 г.